

УДК 533.95

РАСЧЕТ ОСЕСИММЕТРИЧНОГО СВОБОДНОГО РАСПИРЕНИЯ  
НЕРАВНОВЕСНОЙ ПЛАЗМЫ ВОДОРОДА

*Д. А. Бартенев, Г. А. Лукъянов*

(Ленинград)

Приводятся схема и результаты расчета методом характеристик свободного расширения невязкой, нетеплопроводной, неравновесной, оптически толстой плазмы водорода из круглого сверхзвукового сопла. Определяющим элементарным процессом считается столкновительно-излучательная рекомбинация. В поле течения наблюдается сильное нарушение термического и ионизационного равновесия. Рассматривается влияние релаксационных процессов на геометрию течения и поля газодинамических параметров. Результаты расчетов сопоставляются с аналогичными данными для идеального совершенного газа.

**1. Основные допущения.** Одномерное свободное расширение неравновесной плазмы в сферическом источнике рассматривалось в работах [1-3]. В данной работе на основе макроскопического подхода решается осесимметричная стационарная задача о свободном расширении невязкой, нетеплопроводной, релаксирующей, оптически толстой плазмы водорода. Выбор водорода в качестве объекта исследования диктовался соображениями простоты и наглядности. При расчете полагаются справедливыми следующие предположения:

- 1) плазма состоит из электронов, ионов и атомов;
- 2) определяющим элементарным процессом является столкновительно-излучательная рекомбинация; акты ионизации за срезом сопла отсутствуют;
- 3) скорости всех компонент плазмы равны;
- 4) плазма квазинейтральна;
- 5) внутренняя энергия электронной компоненты определяется балансом между энергией, теряемой электронами при упругих столкновениях с тяжелыми частицами, и энергией, получаемой электронами при рекомбинации [2];
- 6) коэффициент рекомбинации является однозначной функцией локальных значений температуры и концентрации электронов [4].

**2. Система уравнений.** С учетом сделанных допущений система уравнений, описывающая осесимметричное свободное расширение плазмы, имеет вид

$$\rho \frac{\partial u}{\partial x} + \rho \frac{\partial v}{\partial y} + \rho \frac{v}{y} + \frac{dp}{dt} = 0 \quad (2.1)$$

$$u \frac{\partial u}{\partial x} + v \frac{\partial u}{\partial y} + \frac{1}{\rho} \frac{\partial p}{\partial x} = 0 \quad (2.2)$$

$$u \frac{\partial v}{\partial x} + v \frac{\partial v}{\partial y} + \frac{1}{\rho} \frac{\partial p}{\partial y} = 0 \quad (2.3)$$

$$\frac{dh}{dt} = \frac{1}{\rho} \frac{dp}{dt} \quad (2.4)$$

$$h(T, T_e, \alpha) = \frac{1}{m_e} \left[ \frac{5}{2} k(T + \alpha T_e) + \alpha I \right] \quad (2.5)$$

$$\frac{d\alpha}{dt} = F_\alpha = - \frac{\rho}{m_\alpha} K_p(N_e, T_e) \alpha^2 \quad (2.6)$$

$$Q^Y + Q^P = 0 \quad (2.7)$$

$$Q^Y = \frac{N_e^2 e^4}{m_a} \left( \frac{8\pi m_e}{kT_e} \right)^{1/2} \left( \frac{T}{T_e} - 1 \right) \ln \left[ \frac{9(kT_e)^3}{8\pi N_e e^6} \right]$$

$$Q^P = \frac{I + 5/2 kT_e}{m_a^2} K_p (N_e, T_e) \alpha^2 \rho^2$$

$$p = \frac{k}{m_a} \rho (T + \alpha T_e) \quad (2.8)$$

$$\alpha = \frac{m_a}{\rho} N_e, \quad \rho = m_a (N_e + N_a)$$

Здесь  $x$  и  $y$  — координаты (ось  $x$  направлена вдоль оси симметрии);  $u$  и  $v$  — проекции скорости на оси  $x$  и  $y$  соответственно;  $\rho$  — плотность;  $p$  — давление;  $h$  — энталпия;  $T$  и  $T_e$  — температуры тяжелых частиц и электронов;  $\alpha$  — степень ионизации;  $N_a$  и  $N_e$  — концентрация атомов и электронов;  $m_a$  и  $m_e$  — массы атома и электрона;  $e$  — заряд электрона;  $Q^Y$  — энергия, теряемая электронами при упругих столкновениях с ионами (столкновения с атомами при заметных степенях ионизации несущественны ввиду малых сечений столкновений);  $Q^P$  — энергия, передаваемая электронам при рекомбинации [1];  $I$  — потенциал ионизации;  $K_p$  — коэффициент столкновительно-излучательной рекомбинации;  $k$  — постоянная Больцмана.

Уравнение энергии для электронной компоненты (2.7) является приближенным. Оно справедливо в некоторой области течения с достаточно высокой плотностью заряженных частиц, когда работа расширения пре-небрежимо мала по сравнению с  $Q^Y$  и  $Q^P$  [2]. При выполнении конкретных расчетов обоснованность записи уравнения энергии электронов в форме (2.7) должна подтверждаться прямыми количественными оценками.

**3. Уравнения характеристик.** Для численного решения системы уравнений (2.1) — (2.8) можно использовать метод характеристик в форме, предложенной в работе [5]. Расчетная система уравнений включает в себя уравнения характеристик первого и второго семейств и соотношения вдоль линий тока. Уравнения характеристик записываются в виде

$$dx = \frac{\beta \mp \zeta}{\beta \zeta \pm 1} dy \quad (3.1)$$

$$\frac{1}{1 + \zeta^2} d\zeta \pm \frac{\beta}{\rho w^2} dp \pm \frac{1}{\beta \zeta \pm 1} \left\{ \frac{\zeta}{y} + \frac{(1 + \zeta^2)^{1/2} I F_\alpha}{5/2 k w (T + \alpha T_e)} \right\} dy = 0 \quad (3.2)$$

$$d\psi = \pm \frac{\rho w y (1 + \zeta^2)^{1/2}}{\beta \zeta \pm 1} dy \quad (3.3)$$

Здесь  $\zeta = \tan \theta$  ( $\theta$  — угол наклона вектора скорости к оси  $x$ );  $\beta = \sqrt{w^2/a^2 - 1}$ ,  $w = \sqrt{u^2 + v^2}$ ,  $\psi$  — функция тока;  $a$  — «замороженная» скорость звука,  $a^2 = 5 k (T + \alpha T_e) / 3 m_a$ .

Соотношения вдоль линий тока имеют вид

$$dy = \zeta dx \quad (3.4)$$

$$d\alpha = \frac{(1 + \zeta^2)^{1/2}}{w} F_\alpha dx \quad (3.5)$$

$$\frac{3}{2} \frac{dp}{\rho} - \frac{5}{2} \frac{p}{\rho^2} d\rho + \frac{I}{m_a} d\alpha = 0 \quad (3.6)$$

$$\frac{w^2}{2} + h = h_0, \quad h = \frac{1}{m_a} \left[ \frac{5}{2} k (T + \alpha T_e) + I \alpha \right] \quad (3.7)$$

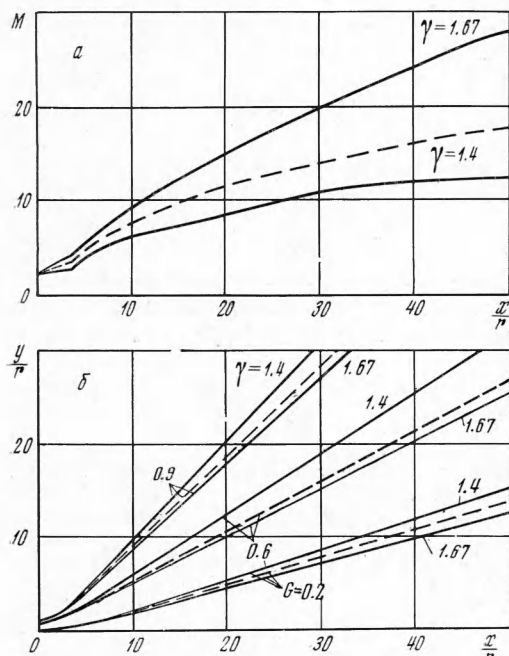
$$Q^Y + Q^P = 0 \quad (3.8)$$

$$p = \frac{k}{m_a} \rho (T + \alpha T_e) \quad (3.9)$$

**4. Схема и пример расчета.** Для расчетов система уравнений (3.1)–(3.9) записывается в конечно-разностной форме в соответствии с работой [5]. Программа расчета струи включает в себя подпрограммы расчета параметров на начальной поверхности, в поле течения, на оси струи и в окрестности угловой точки (кромки сопла). Параметры течения в узлах характеристической сетки определяются методом последовательных приближений. Наиболее медленно сходящейся величиной является температура электронов. Эта величина и была выбрана в качестве критерия сходимости. Расчет параметров в каждой точке прекращался, когда разность значений  $T_e$  при двух последовательных приближениях составляла  $10^{-3}\%$ . В среднем при расчете каждой точки делалось  $5 \div 6$  приближений.

В качестве примера рассмотрим свободное расширение из конического сопла с углом полураствора  $11.3^\circ$  ( $\zeta = 0.2$ ). Примем, что геометрия течения на срезе сопла соответствует течению в источнике с полюсом в точке пересечения образующей сопла с осью симметрии (фиг. 1). Параметры на поверхности  $aa'$  предполагаются постоянными. Расчет выполнен при радиусе выходного сечения сопла  $r$ , равном 1 см, и следующих параметрах на срезе сопла:

$$\begin{aligned} M &= w / a = 2.5, w = \\ &= 1.4 \cdot 10^6 \text{ см/сек}, T = 2 \cdot 10^3 \text{ К} \\ \rho &= 5 \cdot 10^{-8} \text{ г/см}^3, \\ p &= 8.3 \cdot 10^{-3} \text{ кП/см}^2 \end{aligned}$$



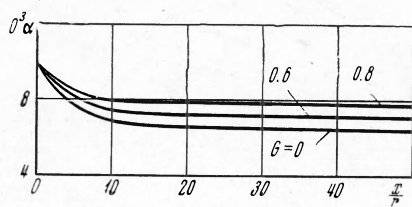
Фиг. 1

Значения  $a$  и  $T_e$  на начальной поверхности находятся из уравнений (3.7) и (3.9). Значения коэффициента столкновительно-излучательной рекомбинации взяты из работы [4].

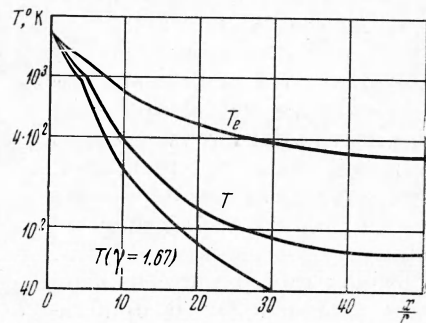
На фиг. 1 приведены результаты расчета чисел  $M$  и спектра линий тока. На линиях тока даны значения относительных массовых расходов  $G$ , проходящих внутри тела вращения, образованного данной линией тока.

Оси симметрии соответствует  $G = 0$ , границе струи —  $G = 1$ . На фиг. 2, а результаты расчета чисел  $M$  на оси струи плазмы водорода (пунктир) сравниваются с числами  $M$  на оси струй идеального совершенного однодромного ( $\gamma = 1.67$ ) и двухатомного ( $\gamma = 1.4$ ) газов. Энерговыделение в рекомбинирующей, расширяющейся плазме приводит к уменьшению чи-

сел  $M$  в поле течения и более интенсивному развороту газа от оси симметрии (фиг. 2, б). В рассматриваемом примере влияние релаксационных процессов на геометрию течения и поля  $w$  и  $\rho$  невелико, что объясняется замедленным переходом энергии ионизации в поступательные степени свободы. Для принятых параметров энергия ионизации на срезе сопла составляет  $\sim 20\%$  полной энталпии. Однако вследствие быстрого «замораживания» степени ионизации вдоль линий тока (фиг. 3) происходит выделение лишь малой доли запасенной энергии. Различие в ходе  $\alpha$  вдоль разных линий тока связано с различием в скорости расширения плазмы вдоль них.



Фиг. 3



Фиг. 4

Для свободно расширяющейся рекомбинирующей плазмы типично нарушение термического равновесия вследствие замедленного обмена энергией между электронами и тяжелыми частицами. На фиг. 4 приведены результаты расчета  $T$  и  $T_e$  на оси симметрии. Отношение  $T_e/T$  увеличивается вниз по течению. Количественные оценки показывают, что уравнение энергии для электронной компоненты в виде (2.7) может использоваться во всей области расчета.

При увеличении степени ионизации на срезе сопла и достаточно большой скорости рекомбинации влияние релаксационных процессов на геометрию течения становится все более заметным. Следует, однако, заметить, что при значительных  $\alpha$  использованный приближенный подход становится недостаточным. Увеличение роли излучения и релаксационных процессов требует более детальной постановки задачи, учитывающей кинетику заселения дискретных энергетических состояний и диффузию излучения.

Поступила 6 X 1971

## ЛИТЕРАТУРА

- Кузнецов Н. М., Райзер Ю. П. О рекомбинации электронов в плазме, расширяющейся в пустоту. ПМТФ, 1965, № 4.
- Лукьянов Г. А. Стационарный сверхзвуковой источник неравновесной плазмы. ПМТФ, 1968, № 6.
- Chou Y. S., Talbot L. Source — flow expansion of a partially ionized gas into a vacuum. AIAA Journal, 1967, vol. 5, No. 12.
- Bates D. R., Kingston A. E., McWhirter R. W. P. Recombination between electrons and atomic ions II. Proc. Roy. Soc., Ser. A, 1962, vol. 270, No. 1341.
- Кацкова О. Н., Крайко А. Н. Расчет плоских и осесимметричных сверхзвуковых течений при наличии необратимых процессов. М., ВЦ АН СССР, 1964.